

Versão: 1{2}

Duração: Exame: 3h00

$\epsilon_0 = 8,854 \times 10^{-12} \text{ F/m}$, $\mu_0 = 4\pi \cdot 10^{-7} \text{ N/A}^2$

Por determinação do Conselho Pedagógico, informamos que só serão cotadas as respostas que contribuam de forma significativa para os resultados ou demonstrações pedidos. As cotações parcelares são indicativas.

- (3,0) **1)** Considere um cabo coaxial muito comprido constituído por um cabo condutor cilíndrico maciço, de raio $R = 0,001\{0,002\} \text{ m}$, eletricamente carregado com densidade **superficial** de carga $\sigma_1 = 0,8\{0,5\} \mu\text{C}/\text{m}^2$, rodeado por um meio dielétrico de constante dielétrica relativa $\epsilon_r = 8\{10\}$, e por uma coroa cilíndrica condutora **ligada à terra** de raio interior $R_i = 0,004\{0,005\} \text{ m}$ e espessura desconhecida.
- [1,0] **a)** Calcule o campo elétrico \mathbf{E} em todos os pontos do espaço;
[R: Teorema de Gauss para \vec{D} : $\oint \vec{D} \cdot \vec{n} dS = Q_{\text{int}}$, usando a aproximação de um cilindro infinito. Escolhendo uma superfície fechada cilíndrica, de comprimento L , o campo é uniforme na parede lateral, e temos $\oint \vec{D} \cdot \vec{n} dS = D(r) \cdot 2\pi r L = Q_{\text{int}}$. A carga interior vai depender do valor de r , distância ao eixo do cabo. Para $r < R$, não há carga e também não há campo elétrico, estando no interior de um condutor em equilíbrio eletrostático. De igual modo, o campo elétrico é nulo para $R_i < r < R_e$ e como o condutor exterior está ligado à Terra e não há mais cargas até ao infinito, podemos assumir que o campo também é nulo para $r \geq R_e$, pelo que $\vec{E} = 0$ para $r < R$ ou $r > R_i$. Para $R < r < R_i$, $Q_{\text{int}} = \sigma_1 \cdot 2\pi R L$ e $\vec{E} = \frac{\vec{D}}{\epsilon} = \frac{2\pi R L \sigma_1}{2\pi r L \epsilon} \vec{e}_r = \frac{\sigma_1 R}{\epsilon_r \epsilon_0 r} \vec{e}_r = \frac{11,3\{11,3\}}{r} \vec{e}_r \text{ (V/m).}]$
- [0,5] **b)** Calcule a diferença de potencial elétrico entre os dois condutores;
[R: $V = \int_R^{R_i} \vec{E} \cdot d\vec{r} = \int_R^{R_i} \frac{\sigma_1 R}{\epsilon_r \epsilon_0 r} dr = \frac{\sigma_1 R}{\epsilon_r \epsilon_0} \log\left(\frac{R_i}{R}\right) = 15,7\{10,3\} \text{ V.}]$
- [0,5] **c)** Calcule a capacidade por unidade de comprimento;
[R: $\frac{C}{L} = \frac{Q}{LV} = \frac{2\pi R L \sigma_1}{LV} = \frac{2\pi R L \sigma_1}{L \frac{\sigma_1 R}{\epsilon_r \epsilon_0} \log\left(\frac{R_i}{R}\right)} = \frac{2\pi \epsilon_r \epsilon_0}{\log\left(\frac{R_i}{R}\right)} = 0,321\{0,61\} \text{ nF.}]$
- [1,0] **d)** Calcule as densidades de cargas de polarização nas superfícies de separação entre os meios.
[R: Só há cargas de polarização σ' em R^+ e em R_i^- , pois só há meio dielétrico com $\epsilon_r > 1$ entre R e R_i . Em R^+ , temos $\sigma'(R^+) = \vec{P} \cdot \vec{n}_{\text{ext}}$, sendo $\vec{P} = (\epsilon_r - 1)\epsilon_0 \vec{E}$ pelo que
 $\sigma'(R^+) = (\epsilon_r - 1)\epsilon_0 \vec{E}(R^+) \cdot (-\vec{e}_r) = -\frac{(\epsilon_r - 1)\epsilon_0 \sigma_1 R}{\epsilon_r \epsilon_0 R} = -\frac{(\epsilon_r - 1)\sigma_1}{\epsilon_r} = -0,7\{-0,45\} \mu\text{C}/\text{m}^2$.
Em R_i^- , temos $\sigma'(R_i^-) = \vec{P} \cdot \vec{n}_{\text{ext}}$, sendo $\vec{P} = (\epsilon_r - 1)\epsilon_0 \vec{E}(R_i^-)$ pelo que
 $\sigma'(R_i^-) = \frac{(\epsilon_r - 1)\epsilon_0 \sigma_1 R}{\epsilon_r \epsilon_0 R_i} = -\frac{(\epsilon_r - 1)\sigma_1 R}{\epsilon_r R_i} = 175\{180\} \text{ nC}/\text{m}^2.]$

(4,0) **2)** Considere o cabo coaxial do problema 1, transportando uma corrente contínua $I = 5\{8\}$ A.

[0,5] **a)** Calcule a espessura da coroa cilíndrica exterior, para ter a mesma **densidade de corrente** existente no condutor interior; ($R = 0,001\{0,002\}$ m, $R_i = 0,004\{0,005\}$ m)
[R: $J_i = \frac{I}{\pi R^2} = \frac{5\{8\}}{\pi 0,001^2\{0,002^2\}} = 1,59\{0,637\}$ (MA/m²); $J_e = \frac{I}{\pi(R_e^2 - R_i^2)} = J_i \Leftrightarrow R_e^2 = R^2 + R_i^2 \Leftrightarrow R_e = 4,123\{5,385\} \times 10^{-3}$ m, pelo que a espessura é $R_e - R_i = 0,123\{0,385\}$ mm .]

[1,0] **b)** Calcule o campo magnético em todo o espaço provocado por este sistema;
[R: Seja uma linha circular “enrolada” à volta do eixo do cabo. O campo magnético é tangente ao longo desta linha, segundo o versor \vec{e}_ϕ . Seja \vec{e}_z o eixo do sentido da corrente e \vec{e}_R o versor radial em coordenadas cilíndricas, tal que $\vec{e}_\phi \times \vec{e}_z = \vec{e}_R$. Dada a simetria do sistema temos $\vec{B} = B(r)\vec{e}_\phi$ sendo r a distância ao eixo. Diz-nos então a lei de Ampère que
 $\oint \vec{B} \cdot d\vec{l} = B \cdot 2\pi r = \mu_0 I_{\text{int}} \Leftrightarrow B(r) = \frac{\mu_0 I_{\text{int}}}{2\pi r}$. A corrente interior depende da distância r (raio da circunferência definida pela linha), pelo que a intensidade do campo magnético é $B(r)$:
 $0 < r < R$: $I_{\text{int}} = J_i \pi r^2 \Leftrightarrow B(r) = \frac{\mu_0 J_i r}{2} = 1\{0,4\} r$ (T); $R < r < R_i$: $I_{\text{int}} = I \Leftrightarrow B(r) = \frac{1\{1,6\}(\mu\text{T})}{r}$;
 $R_i < r < R_e$: $I_{\text{int}} = (I - J_e \pi(r^2 - R_i^2)) \Leftrightarrow B(r) = \frac{\mu_0 I}{2\pi r} \left(1 - \frac{r^2 - R_i^2}{R^2}\right) = \frac{\mu_0 I}{2\pi r} \left(\frac{R_e^2 - r^2}{R^2}\right) \Leftrightarrow$
 $B(r) = \frac{\{0,4\}(1,7\{2,9\} \times 10^{-5} - r^2)}{r}$ (T); $r > R_e$: $I_{\text{int}} = I - I = 0 \Leftrightarrow B(r) = 0$.]

[1,0] **c)** Suponha que se faz passar este cabo pelo centro de uma espira circular, de raio $R_E = 0,1\{0,2\}$ m, fazendo coincidir o eixo do cabo com o eixo perpendicular ao plano da espira. Calcule o coeficiente de indução mútua entre o cabo e a espira.
[R: Como o campo magnético criado pelo cabo é paralelo ao plano da espira, não há fluxo a atravessar a espira, pelo que $M = 0$.]

(1,5) **d)** Suponha que se faz passar este cabo pelo centro de um solenoide toroidal (toroide) circular de secção quadrada de lado $a = 0,001\{0,002\}$ m, de raio médio $R_T = 0,1\{0,5\}$ m, fazendo coincidir o eixo do cabo com o eixo perpendicular ao plano do toro. Considere o solenoide toroidal como tendo $100\{200\}$ espiras distribuídas uniformemente ao longo do toro (e que $a \ll R_T$).

[0,5] **i)** Calcule o coeficiente de indução mútua entre o cabo e o toroide.
[R: Como o campo magnético criado pelo cabo é nulo fora do cabo, não há campo magnético criado pelo cabo na secção do toroide, pelo que $M = 0$.]

[1,0] **ii)** Refaça a alínea anterior se em vez do cabo fizesse passar apenas o fio condutor interior do cabo.
[R: Neste caso, o fio já produz um campo magnético na secção do toroide, perpendicular a esta secção, com intensidade dada por (alínea b) com $R_e > R_T + \frac{a}{2}$): $B(r) = \frac{\mu_0 I}{2\pi r} \cong \frac{\mu_0 I}{2\pi R_T}$ se usarmos a aproximação $a \ll R_T$. O coeficiente de indução mútua fica assim
 $M = \frac{\Phi_T}{I_{\text{fio}}} = \frac{N_T \iint \vec{B}_{\text{fio}} \cdot \vec{e}_\phi dS}{I_{\text{fio}}} \cong \frac{N_T \mu_0 I a^2}{2\pi R_T I} = \frac{N_T \mu_0 a^2}{2\pi R_T} = 0,2\{0,32\}$ nH.]

(3,0) **3)** Na figura ao lado as resistências são todas iguais. As resistências são cilindros de comprimento $l = 0,5\{0,2\}$ m e raio $R = 0,0001\{0,0002\}$ m, numa liga com condutividade elétrica dependente da distância r ao eixo do cilindro dada por $\sigma(r) = 2,38\{4\} \times 10^6 \cdot r \text{ } (\Omega\text{m})^{-1}$. Pode assumir que o campo elétrico dentro dos blocos é uniforme e paralelo ao eixo do cilindro.

[1,0] **a)** Calcule o valor de cada resistência (em Ω);

(sugestão: comece por calcular a corrente I que atravessa a secção do condutor, em função da tensão V aplicada nos extremos)

$$[R: I = \iint \vec{j} \cdot \vec{n} dS = \int_0^{2\pi} \int_0^R \sigma(r) E r dr d\varphi = 2\pi \frac{V}{l} \int_0^R \sigma(r) r dr = 2\pi \frac{V}{l} \int_0^R 2,38\{4\} \times 10^6 r^2 dr \text{ ou } I = 2\pi \frac{V}{l} 2,38\{4\} \times 10^6 \frac{R^3}{3} \Leftrightarrow R = \frac{V}{I} = \frac{3l \times 10^{-6}}{2\pi 2,38\{4\} R^3} = 100,3\{2,98\} \text{ k}\Omega.]$$

[1,0] **b)** Calcule o valor da resistência equivalente entre A e B (quaisquer 2 vértices opostos);

(sugestão: comece por especificar as correntes em todos os ramos do circuito, tirando proveito da simetria do sistema)

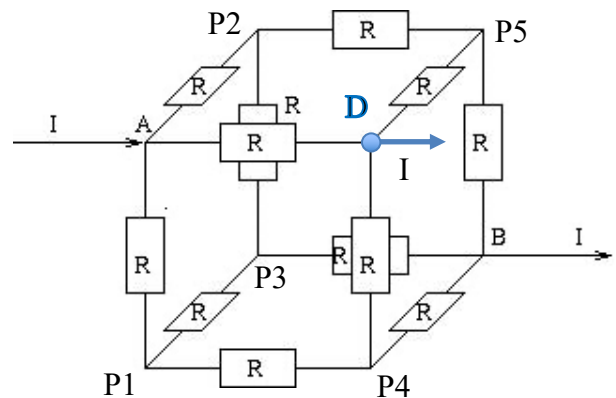
[R: Devido à simetria do sistema, a corrente I que entra no ponto A divide-se em 3 partes iguais. De igual modo, as correntes que chegam ao ponto B são todas iguais a $I/3$. Peguemos agora na corrente $I/3$ que segue para o ponto D. Quando chega a esse ponto, também se vai dividir de igual modo pelos 2 ramos, passando $I/6$ para baixo. Podemos assim escolher um caminho entre A e B, passando pelo ponto D, descendo e seguindo para o ponto B, para calcular a diferença de potencial elétrico entre os pontos A e B:

$$V = \frac{RI}{3} + \frac{RI}{6} + \frac{RI}{3} = RI \left(\frac{2}{3} + \frac{1}{6} \right) \Leftrightarrow R_{AB} = \frac{V}{I} = \frac{5}{6} R = 83,59\{2,486\} \text{ k}\Omega.]$$

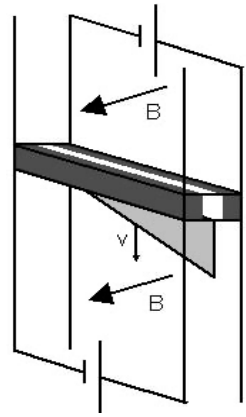
[1,0] **c)** Calcule o valor da resistência equivalente entre A e D (quaisquer 2 vértices vizinhos);

(sugestão: basta definir mais 2 correntes I' e I'' para resolver o circuito, respeitando a simetria)

[R: Começamos por notar que não sai corrente para fora do cubo no ponto B. Assim, todo o sistema é simétrico no plano ADB (simetria de espelho). Sendo assim, seja I' a corrente que do ponto A segue para baixo (para P1), idêntica à corrente que do ponto A segue para P2. A corrente que segue para o ponto D é então $I - 2I'$. A corrente que chega a P1 separa-se na corrente I'' que vai para P3 e na corrente $I' - I''$ que vai para P4. Ora, pela simetria, a corrente de P2 para P3 é também I'' e a que vai de P2 para P5 é também $I' - I''$. A corrente que vai de P3 para B é $2I''$ que se divide de igual modo em I'' de B para P5 e em I'' de B para P4. Finalmente, como esperado, a corrente que vai de P5 para D é igual à que vai de P4 para D e igual a I' . Precisamos agora de 2 circuitos fechados para obter I' e I'' em função de I . Pelo circuito de cima – A-P2-P5-D – temos $RI' + R(I' - I'') + RI' = R(I - 2I')$; pelo circuito de trás – P2-P3-B-P5 – temos $RI'' + R \cdot 2I'' + RI'' = R(I' - I'') \Leftrightarrow I' = 5I''$ que podemos colocar na equação de cima para obter $I = I' + I' - \frac{I'}{5} + I' + 2I' = \frac{24}{5} I' \Leftrightarrow I' = \frac{5}{24} I$ e $V_{AD} = R(I - 2I') = RI \left(1 - 2 \frac{5}{24} \right)$, pelo que $R_{AD} = \frac{V_{AD}}{I} = \frac{7}{12} R = 58,51\{1,74\} \text{ k}\Omega.]$

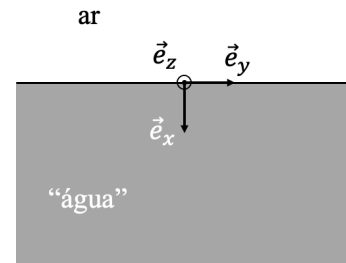


- (3,0) 4) No sistema penal representado na figura (sem as baterias ligadas), uma barra de 1,2 m de comprimento e massa $m=5\{8\}$ Kg, constituída por uma camada isolante coberta por duas camadas condutoras, ambas com resistência elétrica $R = 2\{4\}$ mΩ, cai sem atrito na vertical entre duas espiras retangulares (abertas), de resistência desprezável. Para controlar a queda, aplica-se um campo magnético constante, $B = 0,1\{0,2\}$ T, perpendicular às espiras.



- [1,0] a) Calcule a força a atuar a barra, em função da velocidade v (incluindo a gravidade);
 [R: Para calcular esta força temos de calcular a corrente induzida devida ao movimento da barra. O fluxo de cima está a variar com o tempo na forma $\frac{d\Phi}{dt} = Bl \frac{dy}{dt} = Blv$ e o fluxo de baixo também está a variar na forma $\frac{d\Phi'}{dt} = Bl \frac{dy}{dt} = Blv$. O sentido da corrente em cima é no sentido horário – provocar um campo induzido contrário a B , enquanto em baixo é no sentido anti-horário, para provocar um campo induzido no sentido de B . Na barra, as correntes têm o mesmo sentido (da direita para a esquerda na imagem), intensidade $i = \frac{1}{R} \frac{d\Phi}{dt} = \frac{Blv}{R}$, provocando uma força magnética para cima dada por (em cada lado da barra) $F_M = ilB = \frac{B^2 l^2 v}{R}$. A força total a atuar a barra é assim $F = mg - 2F_M = mg - \frac{2B^2 l^2 v}{R} = 49\{78,4\} - 14,4\{28,8\} \cdot v$ (N), orientada para baixo.]
- [1,0] b) Calcule a velocidade máxima atingida pela barra;
 [R: Como $F = m \frac{dv}{dt}$, a velocidade é máxima quando $\frac{dv}{dt} = 0$, isto é, quando $F = 0 \Leftrightarrow v = \frac{mgR}{2B^2 l^2} = 3,40\{2,72\}$ m/s.]
- [1,0] c) Para manter a barra travada a 1/3 do topo, colocam-se duas baterias iguais nas espiras (ver figura), de modo a obrigar a passar corrente por ambos os lados da barra. Calcule a força eletromotriz de cada bateria para que a barra permaneça sempre em repouso.
 [R: As correntes que têm que passar nos dois lados da barra para ela permanecer em repouso são as que provocam uma força magnética total igual ao peso: $2F_M = mg \Leftrightarrow 2IlB = mg \Leftrightarrow I = \frac{mg}{2lB} \Leftrightarrow \varepsilon = RI = \frac{mgR}{2lB} = 0,41\{0,653\}$ V.]

- (4,0) 5) Uma onda eletromagnética com frequência angular $\omega = 4,7\{2,7\} \times 10^{15} \text{s}^{-1}$ propaga-se **no ar** quando incide na água duma piscina, com índice de refração $n_2 = 4/3\{\sqrt{3}\}$. Nota-se que **não há onda refletida** e que a intensidade da onda incidente é $I_i = 53,124\{332\} \text{W/m}^2$. Escolhendo um referencial apropriado,



- [1,0] a) Calcule o ângulo de incidência e o ângulo de refração;
[R: Como não há onda refletida, sabemos que o campo elétrico da onda incidente não pode ter componente perpendicular ao plano de incidência – segundo \vec{e}_z – e que o ângulo de incidência tem de ser o ângulo de Brewster, $\theta_i = \theta_{iB} = \arctan \frac{n_2}{n_1} = \arctan \frac{4}{3}\{\sqrt{3}\} = 53,13^\circ\{60^\circ\}$. O ângulo de refração é simplesmente dado por $\theta_t = 90^\circ - \theta_i = 36,87^\circ\{30^\circ\}$, pois $\theta_i = \theta_{iB}$ (que se pode confirmar com $\theta_t = \arcsin \left(\frac{n_1}{n_2} \sin \theta_i \right) = \arcsin \left(\frac{3}{4} \left\{ \frac{1}{\sqrt{3}} \right\} 0,8\{0,5\} \right) = 36,87^\circ\{30^\circ\}$).]
- [1,0] b) Calcule a intensidade da onda transmitida;
[R: Como não há onda refletida, e $I_i \cos \theta_i \equiv I_r \cos \theta_r + I_t \cos \theta_t = I_t \cos \theta_t$, temos

$$I_t = \frac{I_i \cos \theta_i}{\cos \theta_t} = \frac{53,124\{332\}0,6\{0,5\}}{0,8\{0,866\}} = 39,84\{191,7\} \text{W/m}^2.$$
Se calculado através dos coeficientes de Fresnel, tem-se $t_{\parallel} = \frac{2 \sin 36,87^\circ\{30^\circ\} \cos 53,13^\circ\{60^\circ\}}{\sin 90^\circ \cos(53,13^\circ - 36,87^\circ)\{30^\circ\}} = \frac{3}{4} \left\{ \frac{1}{\sqrt{3}} \right\}$ e

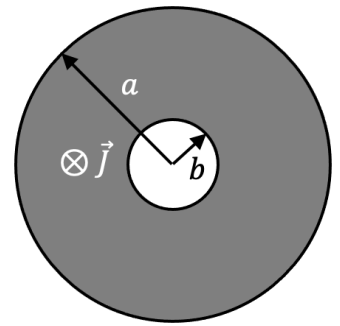
$$E_{0t} = E_{0t\parallel} = t_{\parallel} E_{0i\parallel}, \text{ pelo que } I_t = \frac{1}{2} n_2 c \epsilon_0 E_{0t}^2 = \frac{1}{2} n_2 c \epsilon_0 t_{\parallel}^2 E_{0i}^2 = \frac{1}{2} n_2 c \epsilon_0 t_{\parallel}^2 \cdot \frac{2I_i}{n_1 c \epsilon_0} \text{ ou}$$

$$I_t = \frac{n_2}{n_1} t_{\parallel}^2 I_i = \frac{4}{3} \{\sqrt{3}\} \left(\frac{3}{4} \left\{ \frac{1}{\sqrt{3}} \right\} \right)^2 I_i = \frac{3}{4} \left\{ \frac{1}{\sqrt{3}} \right\} 53,125\{332\} = 39,84\{191,7\} \text{W/m}^2.]$$
- [1,0] c) Calcule o módulo da amplitude máxima da onda transmitida, E_{0t} , e o vetor de onda \vec{k}_t ;
[R: $I_t = \frac{1}{2} n_2 c \epsilon_0 E_{0t}^2$, pois a onda transmitida tem polarização linear (não tem componente em \vec{e}_z).
Assim, $E_{0t} = \sqrt{\frac{2I_t}{n_2 c \epsilon_0}} = \sqrt{\frac{3}{4} \left\{ \frac{1}{\sqrt{3}} \right\} \frac{2 \cdot 39,84\{191,7\}}{c \epsilon_0}} = 150\{289\} \text{V/m}$. O número de ondas é $k_t = \frac{n_2 \omega}{c}$ e o vetor de onda é $\vec{k}_t = k_t (\cos \theta_t \vec{e}_x + \sin \theta_t \vec{e}_y) = \frac{4}{3} \{\sqrt{3}\} \frac{4,7\{2,7\} \times 10^{15}}{3 \times 10^8} \left(0,8 \left\{ \frac{\sqrt{3}}{2} \right\} \vec{e}_x + 0,6\{0,5\} \vec{e}_y \right)$ ou $\vec{k}_t = 2,09\{1,56\} \times 10^7 \left(0,8 \left\{ \frac{\sqrt{3}}{2} \right\} \vec{e}_x + 0,6\{0,5\} \vec{e}_y \right) \text{ m}^{-1}.$]
- [1,0] d) Escreva as expressões para as componentes do campo elétrico da onda transmitida;
[R: Para obter as expressões do campo elétrico da onda transmitida, comecemos por notar que a parte variável da fase da onda em cada componente é dada por

$$\Phi(\vec{r}, t) = \omega t - \vec{k}_t \cdot \vec{r} = 4,7\{2,7\} \times 10^{15} t - 2,09\{1,56\} \times 10^7 \left(0,8 \left\{ \frac{\sqrt{3}}{2} \right\} \vec{e}_x + 0,6\{0,5\} \vec{e}_y \right) \cdot \vec{r},$$
 e que as componentes têm amplitude $E_{0tz} = 0$, $E_{0ty} = -E_{0t} \cos \theta_t$, $E_{0tx} = E_{0t} \sin \theta_t$. Em V/m temos

$$\begin{cases} E_{0tx} = 90\{144\} \cos \left(4,7\{2,7\} \times 10^{15} t - 2,09\{1,56\} \times 10^7 \left(0,8 \left\{ \frac{\sqrt{3}}{2} \right\} \vec{e}_x + 0,6\{0,5\} \vec{e}_y \right) \cdot \vec{r} \right) \\ E_{0ty} = 120\{250\} \cos \left(4,7\{2,7\} \times 10^{15} t - 2,09\{1,56\} \times 10^7 \left(0,8 \left\{ \frac{\sqrt{3}}{2} \right\} \vec{e}_x + 0,6\{0,5\} \vec{e}_y \right) \cdot \vec{r} \right) + \pi \\ E_{0tz} = 0 \end{cases}$$
.]

- (3,0) 6) Na figura mostra-se a secção transversal de um condutor cilíndrico infinito e uniforme, de raio $a = 0,5\{0,8\}$ m, no qual foi retirada uma cavidade cilíndrica (paralela ao eixo) de raio $b = 0,1\{0,2\}$ m. A corrente $I = 5\{8\}$ A está uniformemente distribuída no condutor (excluindo a cavidade). O material condutor é ferromagnético com permeabilidade magnética relativa $\mu_r = 5000\{2000\}$.



- [1,0] a) Calcule o campo \vec{H} , o campo magnético \vec{B} e a Magnetização \vec{M} em todo o espaço, se os eixos forem coincidentes, isto é, se a distância entre os eixos for $d = 0$.
[R: Começamos por calcular o campo \vec{H} . Seja uma circunferência de raio r , centrada no eixo do condutor cilíndrico. O campo \vec{H} é tangente a esta circunferência, segundo o versor \vec{e}_ϕ , e só depende da distância r ao eixo do cilindro, dado por $\vec{e}_z = \vec{e}_l \parallel \vec{J}$. Temos então que $\vec{H} = H(r)\vec{e}_\phi$ e pela lei de Ampère que $\oint \vec{H} \cdot d\vec{l}$ ao longo desta circunferência é igual à corrente interior: $H \cdot 2\pi r = I_{\text{int}}$. Para $r < b$, $I_{\text{int}} = 0$, pelo que $H = 0, B = 0, M = 0$. Para $b < r < a$, $I_{\text{int}} = J\pi(r^2 - b^2)$, e

$$H(r) = \frac{J\pi(r^2 - b^2)}{2\pi r} = \frac{J}{2} \frac{(r^2 - b^2)}{r} = \frac{3,316\{2,122\}}{r} (r^2 - 0,01\{0,04\}) (\text{A/m}); \quad \vec{B} = \mu \vec{H} = 5000\{2000\} \mu_0 \vec{H}$$
ou $\vec{B} = \frac{20,83\{5,33\}}{r} (r^2 - 0,01\{0,04\}) \vec{e}_\phi$ (mT); $\vec{M} = (\mu_r - 1)\vec{H} = 4999\{1999\}\vec{H} \Leftrightarrow$

$$\vec{M} = \frac{16575\{4242\}}{r} (r^2 - 0,01\{0,04\}) \vec{e}_\phi$$
 (A/m).
Para $r > a$, $\vec{M} = 0$, $I_{\text{int}} = I$, $\vec{H} = \frac{I}{2\pi r} \vec{e}_\phi = \frac{0,796\{1,273\}}{r} \vec{e}_\phi$ (A/m), $\vec{B} = \mu_0 \vec{H} = \frac{1\{1,6\}}{r} \vec{e}_\phi$ (μT)]

- [1,0] b) Calcule as densidades de corrente de magnetização no interior (em volume) e nas superfícies interior e exterior do cilindro condutor (note que é “infinito”), na situação da alínea anterior.
[R: No volume interior do condutor, a densidade volumica de corrente de magnetização é

$$\vec{J}_M = \vec{\nabla} \times \vec{M} = \vec{\nabla} \times M_\phi(r) \vec{e}_\phi = \frac{1}{r} \frac{\partial}{\partial r} (r M_\phi(r)) \vec{e}_z = \frac{\vec{e}_z}{r} \frac{\partial}{\partial r} (16575\{4242\} (r^2 - b^2)) \Leftrightarrow$$

$$\vec{J}_M = \frac{\vec{e}_z}{r} 16575\{4242\} 2r = 33,15\{8,484\} \vec{e}_z$$
 (kA/m²). Para a densidade superficial de corrente, temos na superfície em $r = a$, $\vec{K}_{Ma} = \vec{M}(a) \times \vec{e}_r$, pois a normal à superfície em $r = a$ é para fora, segundo \vec{e}_r , com $\vec{e}_r \times \vec{e}_\phi = \vec{e}_z$. Temos então $\vec{K}_{Ma} = \frac{16575\{4242\}}{a} (a^2 - 0,01\{0,04\}) (-\vec{e}_z)$ ou
 $\vec{K}_{Ma} = -7956\{-3182\} \vec{e}_z$ (A/m). Para $r = b$, $\vec{M}(b) = 0$ e $\vec{K}_{Mb} = 0$.]

- [1,0] c) Calcule o campo \vec{H} , o campo magnético (\vec{B}) e a Magnetização \vec{M} dentro da cavidade, se os eixos estiverem distanciados pela distância $d = 0,3\{0,5\}$ m (figura de baixo).
[R: Dentro da cavidade temos ar, pelo que $\vec{M} = 0$, $\vec{B} = \mu_0 \vec{H}$, e $\vec{H} = \vec{H}_E + \vec{H}_D$, sendo \vec{H}_E provocado por um cilindro homogéneo de raio a com densidade uniforme de corrente \vec{J} , e \vec{H}_D provocado por um cilindro homogéneo de raio b com densidade de corrente $-\vec{J}$, estando o eixo do segundo cilindro à distância d na direção x . Seja então um ponto na cavidade de coordenadas x', y' em relação ao eixo do cilindro de raio b . Note-se que temos sempre $r'^2 = x'^2 + y'^2 < b^2$. As coordenadas deste ponto em relação ao eixo do cilindro grande são $x = x' + d, y = y'$, sendo que também temos $r = \sqrt{x^2 + y^2} < a$. Sendo os cilindros homogéneos, usamos a lei de Ampère para calcular ambos os campos: $\vec{H}_E = \frac{J\pi r^2}{2\pi r} \vec{e}_\phi = \frac{J}{2} r \vec{e}_\phi$, com $\frac{J}{2} = 3,136\{2,122\}$ (A/m²) (da alínea a)), $\vec{H}_D = -\frac{J}{2} r' \vec{e}_{\phi'}$. Os versores \vec{e}_ϕ e $\vec{e}_{\phi'}$ são diferentes, respetivamente perpendiculares a \vec{e}_r e $\vec{e}_{r'}$. Em função de x, y e de x', y' escrevem-se, respetivamente, $\vec{e}_\phi = \frac{-y\vec{e}_x + x\vec{e}_y}{r}$ e $\vec{e}_{\phi'} = \frac{-y'\vec{e}_x + x'\vec{e}_y}{r'}$, o que facilita muito o cálculo dos campos, porque ficamos apenas com $\vec{H}_E = \frac{J}{2} r \vec{e}_\phi = \frac{J}{2} (-y\vec{e}_x + x\vec{e}_y)$, $\vec{H}_D = -\frac{J}{2} (-y'\vec{e}_x + x'\vec{e}_y)$ e com

$$\vec{H} = \frac{J}{2} (x - x') \vec{e}_y = -\frac{Jd}{2} \vec{e}_y = -1\{1,06\} \vec{e}_y$$
 (A/m) e $\vec{B} = \mu_0 \vec{H} = -1,25\{1,33\}$ (μT).]

